

Metallkomplexe mit biologisch wichtigen Liganden, LI¹⁾Reaktionen von α -Aminosäuren mit Hexachloropalladat(IV).
Stabilisierung von 1-Pyrrolin an Palladium(II)

Barbara Wagner, Ute Taubald und Wolfgang Beck*

Institut für Anorganische Chemie der Universität München,
Meiserstraße 1, D-8000 München 2

Eingegangen am 5. Dezember 1988

Key Words: Hexachloropalladate(IV) / α -Amino acids / 1-Pyrroline and 1-pyrroline-2-carboxylate as ligands

Hexachloropalladat(IV) setzt sich mit α -Aminosäuren im Überschuß unter Reduktion des Metalls zu Palladium(II)-Chelatkomplexen PdL_2 (**1**) um (L = Anion von L-Val, L-Leu, L-Phe, L-Glu, L-Gln, DL-Indolin-2-carbonsäure). Chloro-verbrückte Palladium(II)-Komplexe $LPd(\mu\text{-Cl})_2PdL$ (**2**) bilden sich bei der Umsetzung von $[PdCl_6]^{2-}$ mit L-Asp, L-Asn und L-Thioprolin. Auch mit L-Met, L-Cys, L-LeuOMe und L-PheOMe werden Palladium(II)-Komplexe (**3–5**) isoliert. L-Pro wird durch $[PdCl_6]^{2-}$ dehydriert bzw. decarboxyliert, wobei der Palladium(II)-Komplex **6** mit 1-Pyrrolin-2-carboxylat und dem in freiem Zustand instabilen 1-Pyrrolin als Liganden erhalten wird. L-Cys-Cys und L-Ala bilden Palladium(IV)-Komplexe (**8, 9**).

Metal Complexes of Biologically Important Ligands, LI¹⁾. – Reactions of α -Amino Acids with Hexachloropalladate(IV). Stabilization of 1-Pyrroline at Palladium(II)

Hexachloropalladate(IV) reacts with an excess of α -amino acids under reduction of the metal to give palladium(II) chelate complexes PdL_2 (**1**) (L = anion of L-Val, L-Leu, L-Phe, L-Glu, L-Gln, DL-indoline-2-carboxylic acid). Chloro-bridged complexes $LPd(\mu\text{-Cl})_2PdL$ (**2**) are obtained from $[PdCl_6]^{2-}$ and L-Asp, L-Asn, and L-thioproline, respectively. With L-Met, L-Cys, L-LeuOMe, and L-PheOMe Pd(II) complexes **3–5** are also isolated. L-Pro is dehydrogenated and decarboxylated by $[PdCl_6]^{2-}$ to yield the Pd(II) complex **6** with 1-pyrroline-2-carboxylate and 1-pyrroline as ligands. L-Cys-Cys and L-Ala yield Pd(IV) complexes **8, 9**.

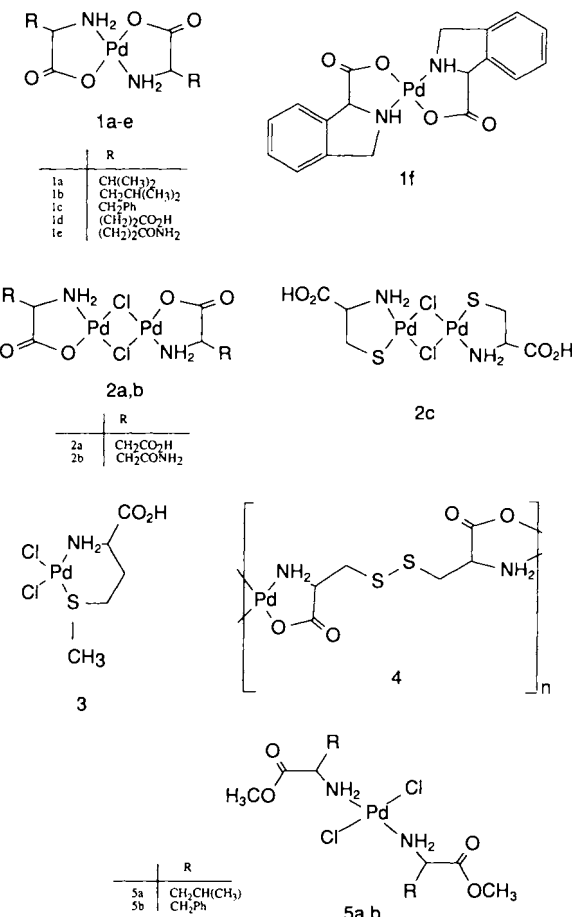
In Fortführung unserer Arbeiten über Komplexe von Palladium und Platin mit α -Aminosäuren und deren Derivaten²⁾ berichten wir im folgenden über Reaktionen verschiedener α -Aminosäuren mit Hexachloropalladat(IV). Von Platin(IV) sind verschiedene α -Aminosäure-Komplexe bekannt³⁾.

1. Reduktion von Pd(IV)- zu Pd(II)-Chelat-Komplexen

Mit Hexachloropalladat(IV) bildet die Mehrzahl der eingesetzten α -Aminosäuren Pd(II)-Chelat-Komplexe verschiedenen Typs **1–5**. Chelat-Komplexe des Typs **1** sind mit verschiedenen α -Aminosäuren bekannt⁴⁾. Ein Vertreter des Typs **2** mit Chloro-Brücken wurde mit Prolinat beschrieben⁵⁾.

Als erstes Oxidationsprodukt der α -Aminosäuren kommen 2-Iminocarbonsäuren in Betracht. Sie konnten mit Ausnahme des Prolins (siehe unten) nicht an Palladium(II) gefaßt werden. Mit anderen Metall-Ionen wurden verschiedene Komplexe mit 2-Iminocarboxylat-Liganden durch Oxidation der α -Aminosäure-Anionen am Metall erhalten⁶⁾. Die reduzierende Wirkung von α -Aminosäuren gegenüber Gold(III) wurde schon früher beobachtet⁷⁾. Bei den hier beschriebenen Reaktionen ist auch zu berücksichtigen, daß Hexachloropalladat(IV) allein in wäßriger Lösung allmählich Chlor abspaltet.

Das Produkt der Umsetzung von $[PdCl_6]^{2-}$ mit L-Thioprolin enthält nicht mehr den 4-Thiazolidincarboxylat-Liganden. Unter Hydrolyse des Thioprolins entsteht Formaldehyd und der Chloro-verbrückte, dimere Cysteinato-Komplex **2c**. Verbindung **2c** wurde auch aus Thioprolin



und $[\text{PdCl}_4]^{2-}$ erhalten. Einige Komplexe mit intaktem Thioprolin sind bekannt⁸⁾. Das Redoxsystem Cystein/Cystin wurde häufig in Zusammenhang mit Kupfer(II) diskutiert⁹⁾. L-Cystein wird durch Palladium(IV) zu L-Cystin oxidiert, das einen leuchtend orangefarbenen, vermutlich polymeren Komplex 4 liefert. Mit Palladium(II) und L-Cystin bildet sich dagegen $\text{Cl}_2\text{Pd}(\text{Cystin})^{10)}$, was wir bestätigen konnten.

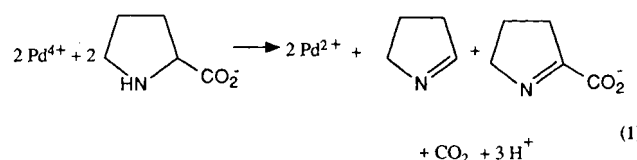
2. Dehydrierung und Decarboxylierung von Prolin zu Pyrrolin-2-carboxylat- und Pyrrolin-Liganden durch Palladium(IV)

Ein interessantes Ergebnis erbrachte die Umsetzung von $[\text{PdCl}_4]^{2-}$ mit L-Prolin. Analytisch und insbesondere durch die mit DEPT-Technik aufgenommenen ^{13}C -NMR-Spektren lässt sich eindeutig nachweisen, daß der Palladium-Komplex 6 1-Pyrrolin-2-carboxylat und 1-Pyrrolin als Liganden enthält. Im DEPT- ^{13}C -NMR-Spektrum werden Signale für alle C-Atome dieser Liganden beobachtet (vgl. Abb. 1). Es erscheinen sechs Signale für die sechs CH_2 -Gruppen und ein Signal für die CH-Gruppe. Im $^{13}\text{C}\{^1\text{H}\}$ -NMR-

Spektrum werden zusätzlich die beiden Signale für die C-Atome der CO_2 - und $\text{C}=\text{N}$ -Gruppen beobachtet. Im ^1H -NMR-Spektrum von 6 werden die erwarteten Signale gefunden (vgl. Exp. Teil). Charakteristisch ist ferner die $\nu\text{C}=\text{N}$ -Bande bei 1663 cm^{-1} im IR-Spektrum von 6 (vgl. Exp. Teil).

1-Pyrrolin lässt sich auf verschiedene Weise erzeugen^{11–13)}. Es ist in freiem Zustand instabil und trimerisiert unter Normalbedingungen zu Tripyrrolin. 1-Pyrrolin wird in 6 durch Komplexbildung stabilisiert. Ein stabiles Addukt von 1-Pyrrolin mit HgCl_2 wurde früher beschrieben¹²⁾. Die ^1H -NMR- und PE-Spektren von 1-Pyrrolin wurden vor kurzem bei tiefen Temperaturen bzw. in der Gasphase untersucht¹³⁾.

Für die Bildung von einem Äquivalent 6 werden gemäß Gleichung (1) zwei Äquivalente $[\text{PdCl}_6]^{2-}$ benötigt.



Möglicherweise erfolgt die Redoxreaktion über einen Prolinat-verbrückten Dipalladium-Komplex. Die Dehydrierung von Hydroxy-L-prolinat an einem Cobalt(III)-Komplex mit Thionylchlorid zum Pyrrolin-2-carboxylat und zum Pyrrol-2-carboxylat wurde erst kürzlich beobachtet¹⁴⁾. Der Ligand Pyrrolin-2-carboxylat entsteht auch am Cobalt(III)-Ion aus 5-Amino-2-oxopentansäure¹⁵⁾. Hexachloroplatinat(IV) liefert den Komplex 7 mit unverändertem Prolinat.

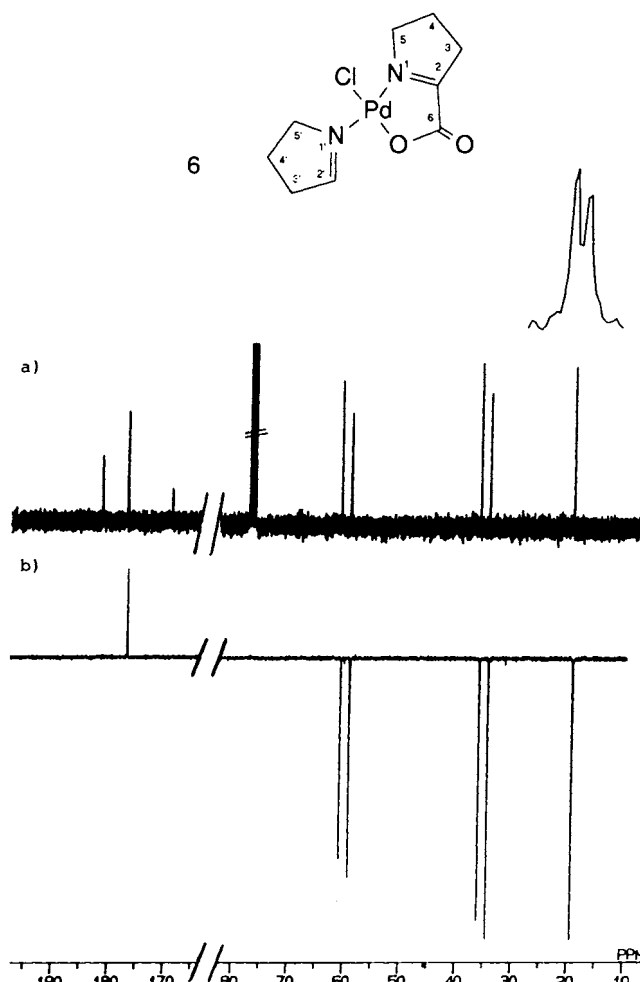
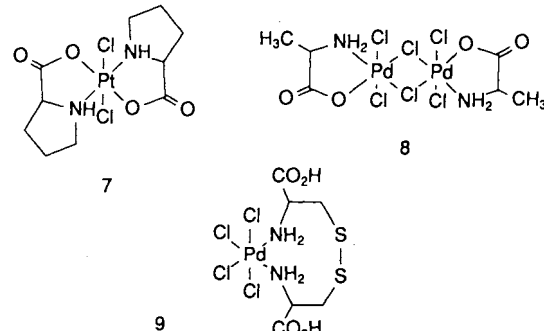


Abb. 1. a) ^{13}C -NMR-Spektrum (CDCl_3) von 6 bei 67.80 MHz (Jeol GSX 270) ($T = 27^\circ\text{C}$, $\text{PW} = 3.0 \mu\text{s}$ (45° -Puls) mit $\text{PD} = 3.4 \text{ s}$); b) DEPT- ^{13}C -NMR-Spektrum (CDCl_3) von 6 [$\text{PW} = 63.0 \mu\text{s}$ (135° -Puls) mit $\text{PD} = 1.8 \text{ s}$], CH_2 -Signale negativ, CH -Signale positiv



Stabile Palladium(IV)-Komplexe konnten nur mit L-Alanin 8 und L-Cystin 9 gewonnen werden.

Dem *Fonds der Chemischen Industrie* und der *Knoll AG*, Ludwigshafen, gilt unser herzlicher Dank für großzügige Förderung. Herrn P. Rahm und Herrn Dr. K. Karaghiosoff danken wir für die Aufnahme und Diskussion der NMR-Spektren.

Experimenteller Teil

Schmelz- bzw. Zersetzungspunkte: Mel-Temp-Apparatur der Firma Laboratory Devices. — IR-Spektren: Perkin-Elmer-IR-Doppelstrahlphotometer 325. — ^1H - und ^{13}C -NMR-Spektren: Jeol FX 90, Jeol GSX-270. Die Ausgangsverbindungen wurden im Handel bezogen.

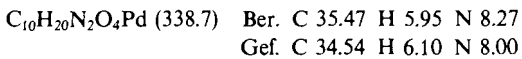
1. Darstellung der Komplexe 1–9

Beispiel: *Bis(valinato)palladium(II)* (**1a**): Eine Lösung von 0.397 g (1.0 mmol) K_2PdCl_6 und 1.172 g (10.0 mmol) L-Valin in 2 ml Wasser wird gerührt. Man tropft nun innerhalb von 20 min 10 ml (10.0 mmol) 1 N NaOH zu. Nach etwa 2 h beobachtet man eine Farbveränderung von rot nach gelb. Man röhrt weitere 16 h, frittet ab und wäscht mit 2 ml Wasser, anschließend mit je 3 ml Ethanol und Ether. Der gelbe Niederschlag wird im Ölpumpenvakuum über P_2O_5 getrocknet.

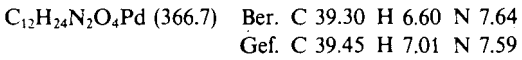
Analog werden **1b–9** durch Umsetzung des Metallsalzes (K_2PdCl_6 bzw. K_2PtCl_6) mit der entsprechenden α -Aminosäure bzw. deren Ester erhalten. Die Reaktion von K_2PdCl_6 mit L-Prolin zu **6** erfolgt unter starker Schaumbildung (Entwicklung von CO_2 , das IR-spektroskopisch nachgewiesen wurde).

2. Daten zu den einzelnen Verbindungen

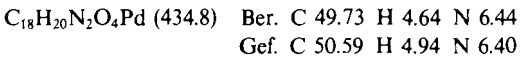
trans-Pd(L-ValO)₂ (**1a**): Ausb. 21%, Schmp. 253–265°C, Farbe hellgelb. – IR (KBr): 3225, 3120 cm^{-1} m (NH); 1630 s, br (C=O).



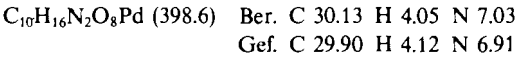
trans-Pd(L-LeuO)₂ (**1b**): Ausb. 26%, Schmp. 220–231°C. Farbe hellgelb. – IR (KBr): 3280–3118 cm^{-1} m (NH); 1630 s, br (C=O). – 1H -NMR ([D₆]DMSO): $\delta = 5.37$ –3.98 (m, 4H, NH₂), 3.23–3.00 [m, 2H, $CHCO_2^-$], 1.93–1.49 [m, 6H, $CH_2CH(CH_3)_2$], 0.87 [m, 12H, $CH(CH_3)_2$].



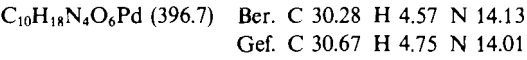
trans-Pd(L-PheO)₂ (**1c**): Ausb. 36%, Schmp. 224–226°C. Farbe ocker. – IR (KBr): 3260–3130 cm^{-1} s (NH); 1635 s, br (C=O).



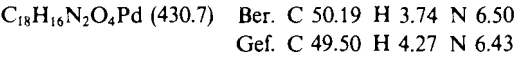
trans-Pd(L-GluO)₂ (**1d**): Ausb. 27%, Schmp. 226–232°C. Farbe hellgelb. – IR (KBr): 3430 cm^{-1} m, br (OH); 3220, 3121 s (NH); 1726 sh, 1694 s (C=O, CO_2H); 1639 s (C=O, CO_2^-). – 1H -NMR ([D₆]DMSO): $\delta = 5.38$ –4.17 (m, 4H, NH₂), 3.26 (m, 2H, $CHCO_2^-$), 2.39 (t, 4H, CH_2CH), 1.89 (m, 4H, CH_2CO_2H).



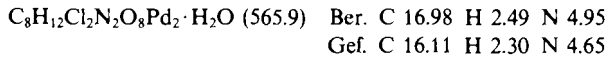
trans-Pd(L-GlnO)₂ (**1e**): Ausb. 99%, Schmp. 223–226°C. Farbe hellgelb. – IR (KBr): 3409 cm^{-1} s (NH, Amid); 3218, 3128 s (NH); 1658 s (C=O, Amid I); 1639 s (C=O); 1596 m (NH₂ Amid II).



trans-Pd(Indolin-2-carboxylat)₂ (**1f**): Ausb. 34%, Schmp. 202 bis 205°C, farbe hellbraun. – IR (KBr): 3220–3160 cm^{-1} m (NH); 1635 s, br (C=O).

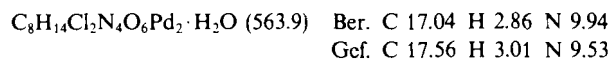


(*AspO*)*Pd(μ-Cl)₂Pd(AspO)* (**2a**): Ausb. 62%, Schmp. 255 bis 266°C, Farbe gelb. – IR (KBr): 3420 cm^{-1} m, br (OH); 3273, 3219 s (NH), 1710 s (C=O, CO_2H); 1605 s (C=O, CO_2^-); 354–318 m (Pd–Cl). – 1H -NMR ([D₆]DMSO): $\delta = 5.27$ –4.38 (m, 4H, NH₂), 3.73 (m, 2H, $CHCO_2^-$), 2.75–2.41 (m, 4H, CH_2CO_2H).

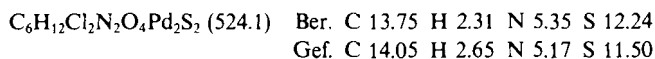


(*AsnO*)*Pd(μ-Cl)₂Pd(AsnO)* (**2b**): Ausb. 41%, Schmp. 203 bis 210°C, Farbe gelb. – IR (KBr): 3450, 3422 cm^{-1} m (NH, Amid), 3320–3080 m (NH); 1685 sh (C=O, Amid I); 1650 s, br (C=O), darunter Amid II; 343–300 w (Pd–Cl). – 1H -NMR ([D₆]-

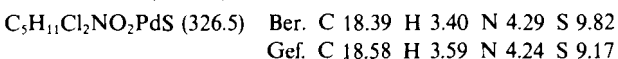
DMSO): $\delta = 7.49$, 6.99 (m, 4H, CONH₂), 5.34–4.42 (m, 4H, NH₂), 3.50 (m, 2H, $CHCO_2^-$), 2.50 (m, 4H, CH₂).



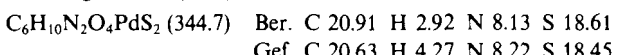
(*Cys-N,S*)*Pd(μ-Cl)₂Pd(Cys-N,S)* (**2c**): Ausb. 20%, Schmp. 216–220°C, Farbe orange. – IR (KBr): 3440 cm^{-1} m (OH); 3260–3100 m, br (NH); 1720 s, br (C=O, CO_2H); 340–320 w (Pd–Cl). – 1H -NMR ([D₆]DMSO): $\delta = 5.41$ –4.75 (m, 4H, NH₂), 3.96 (m, 2H, $CH-CO_2H$), 2.83 (m, 4H, CH₂).



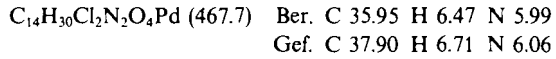
Cl₂Pd(Met-N,S) (**3**): Ausb. 28%, Schmp. 183–188°C, Farbe gelb. – IR (KBr): 3420 cm^{-1} m, br (OH); 3200, 3100 s, br (NH); 1710 m, br (C=O); 387 w (Pd–S); 360, 320, 300 w (Pd–Cl). – 1H -NMR ([D₆]DMSO): $\delta = 5.42$ –4.62 (m, 2H, NH₂), 2.56–2.44 (m, 4H, CH₂CH₂), 2.05 (m, 3H, CH₃).



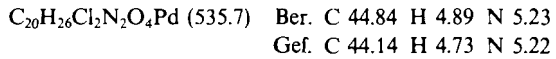
(*Pd-Cys-Cys_n*) (**4**): Ausb. 35%, Schmp. 155–162°C, Farbe leuchtend orange. – IR (KBr): 3050 cm^{-1} s, br (NH); 1620 (C=O).



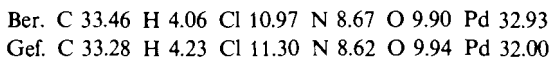
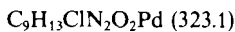
trans-Cl₂Pd(LeuOMe)₂ (**5a**): Ausb. 14%, Schmp. 118–120°C, Farbe gelb. – IR (KBr): 3298 cm^{-1} , 3260, 3239, 3190, 3110 m (NH); 1738 s (C=O); 332, 278 w (Pd–Cl). – 1H -NMR ([D₆]DMSO): $\delta = 4.43$ –3.37 (m, 4H, NH₂), 3.66 (s, 6H, OCH₃), 3.29 (s, 2H, $CH-CO_2CH_3$), 2.08–1.44 [m, 6H, $CH_2CH(CH_3)_2$], 0.90 [d, 12H, $CH(CH_3)_2$, ³J = 4.88 Hz].



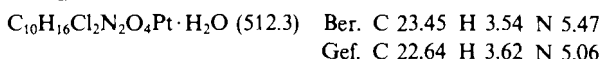
trans-Cl₂Pd(PheOMe)₂ (**5b**): Ausb. 21%, Schmp. 110–114°C, Farbe gelb. – IR (KBr): 3300 cm^{-1} , 3270, 3200, 3180, 3115 m (NH); 1743 s (C=O); 360, 330 m (Pd–Cl). – 1H -NMR ([D₆]DMSO): $\delta = 7.25$ (m, 10H, C_6H_5), 4.38–3.77 (m, 4H, NH₂), 3.54 (s, 6H, OCH₃), 3.31 (s, 2H, $CHCH_2Ph$), 3.57–2.88 (m, 4H, CH_2Ph).



ClPd(1-Pyrrolin)(1-Pyrrolin-2-carboxylat) (**6**): Ausb. 24%, Schmp. 210–213°C, Farbe hellgelb. – IR (KBr): 1663 cm^{-1} s (C=N); 1638 m (C=O); 340 w (Pd–Cl). – 1H -NMR (CDCl₃): $\delta = 8.02$ (s, 1H, 2'-CH), 4.08–3.91 (m, 4H, 5,5'-CH₂), 2.95–2.73 (m, 4H, 3,3'-CH₂), 2.23–1.94 (m, 4H, 4,4'-CH₂). – ¹³C{¹H}-NMR (CDCl₃): $\delta = 181.52$ (C-2'); 176.98 (C-2'); 168.97 (C-6); 61.03, 59.30 (C-5,5'); 36.17, 34.52 (C-3,3'); 19.49, 19.48 (C-4,4'). – DEPT-¹³C-NMR: $\delta = 177.03$ (C-2'), 61.00, 59.33 (C-5,5'); 36.15, 34.53 (C-3,3'); 19.49, 19.44 (C-4,4').



trans-Cl₂Pt(ProO)₂ (**7**): Ausb. 12%, Zers. ab 250°C, Farbe sand. – IR (KBr): 3140 cm^{-1} s, br (NH), 1630 s, br (C=O); 320 m (Pt–Cl). – 1H -NMR ([D₆]DMSO): $\delta = 7.29$ (m, 2H, NH), 3.70 (m, 2H, $CH-NH$), 3.34–3.08 (m, 4H, CH_2NH), 1.87 (m, 8H, CH_2CH_2).



(*AlaO*)*Cl₂Pd(μ-Cl)₂PdCl₂(AlaO)* (**8**): Ausb. 82%, Schmp. 244–254°C, Farbe ocker. – IR (KBr): 3265 cm^{-1} , 3198, 3118 s

(NH); 1637 s (C=O); 388, 353, 340, 318, 298 m (Pd—Cl). — $^1\text{H-NMR}$ ($[\text{D}_6]\text{DMSO}$): $\delta = 5.18 - 4.28$ (m, 4H, NH₂), 1.28—1.09 (m, 8H, CHCH₃).

$\text{C}_6\text{H}_{12}\text{Cl}_6\text{N}_2\text{O}_4\text{Pd}_2$ (601.7) Ber. C 11.98 H 2.01 N 4.66
Gef. C 12.09 H 2.09 N 4.67

$\text{Cl}_4\text{Pd}(\text{Cys-Cys})$ (9): Ausb. 39%, Schmp. 240—260°C, Farbe orange. — IR (KBr): 3260 cm⁻¹, 3180, 3100 s (NH); 1730 s (C=O); 370, 345, 330 w (Pd—Cl). — $^1\text{H-NMR}$ ($[\text{D}_6]\text{DMSO}$): $\delta = 5.41 - 4.86$ (m, 4H, NH₂), 3.99 (m, 2H, CH—NH₂), 2.84 (m, 4H, CH₂S).

$\text{C}_6\text{H}_{12}\text{Cl}_4\text{N}_2\text{O}_4\text{PdS}_2 \cdot 2\text{H}_2\text{O}$ (524.5)

Ber. C 13.74 H 3.07 N 5.34 S 12.22
Gef. C 13.62 H 2.98 N 5.08 S 10.42

CAS-Registry-Nummern

1a: 119363-25-6 / **1b:** 90025-69-7 / **1c:** 119363-26-7 / **1d:** 72123-88-7 / **1e:** 119363-27-8 / **1f:** 119272-57-0 / **2a:** 119272-58-1 / **2b:** 119272-60-5 / **2c:** 62792-52-3 / **3:** 65981-83-1 / **4:** 119272-52-5 / **5a:** 119272-53-6 / **5b:** 89973-66-0 / **6:** 119272-54-7 / **7:** 119272-55-8 / **8:** 119272-56-9 / **9:** 119272-59-2 / K_2PdCl_6 : 16919-73-6 / K_2PtCl_6 : 16921-30-5 / L-Prolin: 147-85-3

¹⁾ L. Mitteilung: J. Chen, T. Pill, W. Beck, *Z. Naturforsch., Teil B*, im Druck.

²⁾ W. Beck, *Pure Appl. Chem.* **60** (1988) 1357, und dort zitierte Literatur.

³⁾ L. M. Volshtain, *Sov. J. Coord. Chem.* **1** (1975) 483; H. Bissinger, W. Beck, *Z. Naturforsch., Teil B*, **40** (1985) 507.

⁴⁾ L. D. Pettit, M. Bezer, *Coord. Chem. Rev.* **61** (1985) 97; P. A. Chaloner, *ibid.* **72** (1986) 61.

⁵⁾ G. Pneumatikakis, *Polyhedron* **3** (1) (1984) 9.

⁶⁾ J. MacB. Harrowfield, A. M. Sargeson, *J. Am. Chem. Soc.* **96** (1974) 2634; **101** (1979) 1514; M. Yamaguchi, M. Saburi, S. Yoshikawa, *J. Am. Chem. Soc.* **106** (1984) 8293; J. Meder, W. Petri, W. Beck, *Chem. Ber.* **117** (1984) 827; E. K. Chong, J. MacB. Harrowfield, W. G. Jackson, A. M. Sargeson, J. Springborg, *J. Am. Chem. Soc.* **107** (1985) 2015; K. Tatsumoto, M. Haruta, A. E. Martell, *Inorg. Chim. Acta* **138** (1987) 231; siehe auch D. St. C. Black in *Comprehensive Coordination Chemistry* (G. Wilkinson, R. D. Gillard, J. A. McCleverty, Hrsg.) Bd. 6, S. 155, Pergamon Press, Oxford 1987.

⁷⁾ J. Kollmann, C. Schröter, E. Hoyer, *J. Prakt. Chem.* **317** (1975) 515; Y. Nagel, W. Beck, *Z. Anorg. Allg. Chem.* **529** (1985) 57, und dort zitierte Literatur, z.B. E. Ambach, M. M. Singh, U. Nagel, W. Beck, *Z. Naturforsch., Teil B*, **39** (1984) 1129.

⁸⁾ D. G. Craciunescu, A. Doadrio, A. Furlani, V. Scarcia, *Inorg. Chim. Acta* **67** (1982) L11; B. Radomska, T. Tatarowski, J. P. Morawiec, H. Kozlowski, *ibid.* **106** (1985) L29; M. Nagase, Y. Yukawa, Y. Inomata, T. Takeuchi, *ibid.* **152** (1988) 211, und dort zitierte Literatur.

⁹⁾ C. A. McAuliffe, S. G. Murray, *Inorg. Chim. Acta Rev.* **106** (1972) 114.

¹⁰⁾ S. M. Paraskewas, A. Danopoulos, L. Lapatsanis, *Chem.-Ztg.* **108** (1984) 251.

¹¹⁾ P. D. Bragg, L. Hough, *J. Chem. Soc.* **1958**, 4050; D. W. Fuhrhage, C. A. VanderWerf, *J. Am. Chem. Soc.* **80** (1958) 6249; U. Schmidt, H. Poisel, *Angew. Chem.* **89** (1977) 824; *Angew. Chem. Int. Ed. Engl.* **16** (1977) 777; K. Ogawa, Y. Nomura, Y. Takeuchi, S. Tomoda, *J. Chem. Soc., Perkin Trans. 1*, **1982**, 3031.

¹²⁾ K. Langheld, *Ber. Dtsch. Chem. Ges.* **42** (1909) 2360; F. Bossert, H. Krimm, *Dissertationen*, Techn. Hochschule Darmstadt, 1948, 1950; L. Skursky, *Z. Naturforsch., Teil B*, **14** (1959) 473.

¹³⁾ H. Bock, R. Dammel, *Chem. Ber.* **120** (1987) 1971, und dort zitierte Literatur.

¹⁴⁾ A. Hammershoi, R. M. Hartshorn, A. M. Sargeson, *J. Chem. Soc., Chem. Commun.* **18** (1988) 1226, 1267.

¹⁵⁾ P. J. Lawson, M. G. McCarthy, A. M. Sargeson, *J. Am. Chem. Soc.* **104** (1982) 6710; E. F. Birse, P. A. Williams, R. S. Vagg, *Inorg. Chim. Acta* **148** (1988) 57; E. F. Birse, P. A. Williams, F. S. Stephens, R. S. Vagg, *ibid.* **148** (1988) 63.

[338/88]